



НАУЧНО-ТЕХНИЧЕСКИ СЪЮЗ
ПО МАШИНОСТРОЕНИЕ

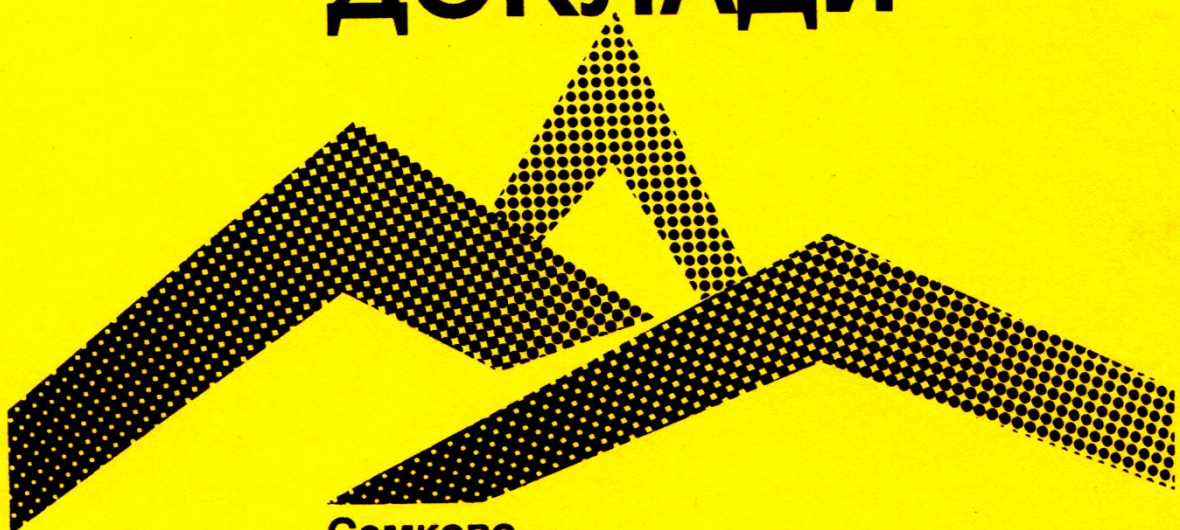
Национално дружество на специалистите
по двигатели с вътрешно горене

Национален научно-технически клуб
на специалистите по автомобилна техника
и каростроене

ТУ София - Факултет по транспорта

МОТАУТО'93

СБОРНИК ДОКЛАДИ



Семково
22-25 ноември 1993г.

СЪДЪРЖАНИЕ

СЕКЦИЯ "ДВИГАТЕЛИ С ВЪТРЕШНО ГОРЕНЕ"

Стр.

Методика за проектиране на гърбици за разпределителни валове с корекция по способ "Полидайн"	
С. Белчев, ТУ - Варна, България.....	7
Mixed Boundary Value Problem for the Stationary Distribution of Heat in a Non-Homogeneous Medium	
Bozek B. Technical University of Mining and Metallurgy, Cracow, Holly K., Jagellonian University, Cracow, Jaskolski J., Technical University, Cracow.....	13
Investigations on a New Diesel Engine Combustion Process	
Bojadjiev K.G., Khalil Gh.S. Technical University Sofia.....	21
Математическо моделиране на процесите, извършващи се в електро-механична запалителна система	
П. Димитров, ТУ - София, България.....	28
Дизелова горивоподхранваща уредба за директно впръскване на двойно гориво	
С. Жечев, ТУ - Варна, България.....	34
Регулаторни характеристики на дизеловите двигатели, работещи с двойно гориво	
С. Жечев, ТУ - Варна, България.....	40
Относно разпределението на енергията в контурите на авиационните двуконтурни ТРД	
Вл. Иванов, ТУ - София, България	43
Някои резултати от изследването на параметрите на газа в проточната част на малоразмерна газова турбина на турбокомпресор	
Вл. Иванов, Г. Панчаревски, ТУ - София, България	48
Разработване на шумозаглушител за дизелови двигатели	
Е. Иванов, Р. Рашков, Р. Старобинский, ТУ - Русе, България.....	54
Автоматизирана система за проектиране на силиконов гасител	
И. Иванов, П. Тепавичаров, Е. Иванов, ТУ - Русе, България.....	59

Приложение на метода на планиране на експеримента за определяне на параметрите на бензинов двигател с цел използването им в адаптивна система за управление на режима на празен ход	
Л. Илиев, ТУ - Русе, България	65
Анализ на възможностите за използване на колебанията на бензинов двигател като обратна връзка в микропроцесорна управляваща система	
Л. Илиев, ТУ - Русе, България	69
Проблеми на оптималното регулиране на автомобилни бензинови двигатели	
Л. Илиев, ТУ - Русе, България	75
Индикаторни показатели на двигател ДП 5800 в стандартно изпълнение и при охлаждане на нагнетявания въздух	
П. Йорданов, С. Станчев, ТУ - Русе, България.....	81
Горивен процес за бързоходни дизелови двигатели с намалена димност и токсичност на отработените газове	
Хр. Калайджиев, ТУ - София, България.....	87
Конструктивни особености и регулировъчни параметри на дизеловия двигател Д 4000	
Хр. Калайджиев, ТУ - София, България.....	92
Анодиране челата на бутала за дизелови двигатели	
Н. Колев, Е. Иванов, ТУ - Русе, България	96
Изследване влиянието на някои фактори върху дебелината на анодния слой върху челата на бутала чрез създаване на апроксимиращ математичен модел	
Н. Колев, Бр. Начев, Е. Иванов, ТУ - Русе, България.....	101
Автоматизирана система за провеждане на изследвания на бензинов двигател (АСНИ)	
Г. Кръстев, Хр. Станчев, В. Иванов, ТУ - Русе, България.....	106
Някои резултати от изпитване на двутактов бензинов двигател за МОКИК ДБ 50	
В. Маринов, Гр. Панчев, Технотест - София, България	112
Кatalитичен неутрализатор за изпускателната система на двигател с вътрешно горене	
О.Н. Михайлов, В.А. Дончев, ЦНИИЕМ - София, България	117
Предварителна преценка на топлонапрегнатостта на дизелов двигател с корпусни детайли от алуминиева сплав	
М. Серафимов, ТУ - Варна, България	120

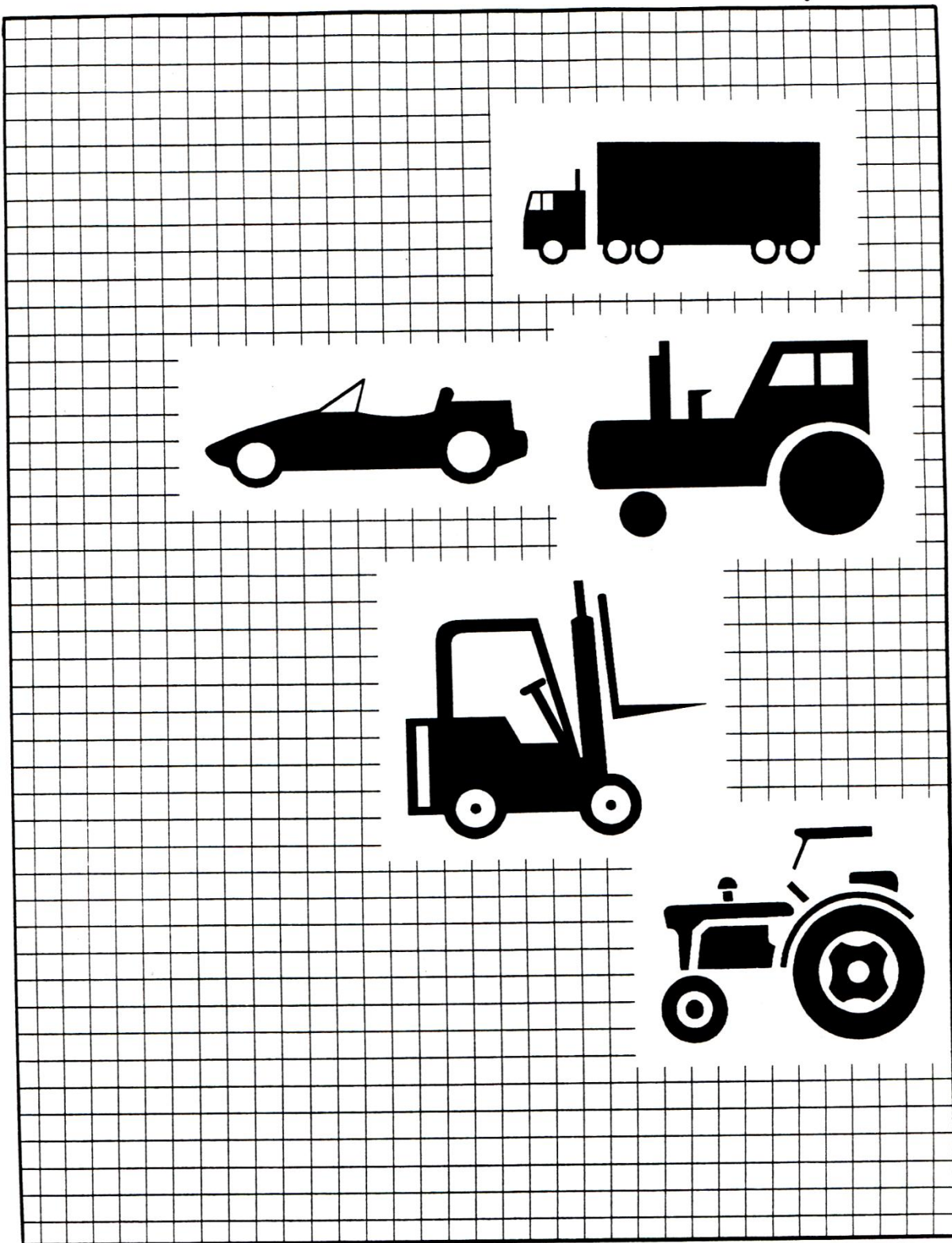
Възможности за използване на бутало с три бутални пръстена и с нирезистова вложка при дизелов двигател с корпусни детайли от алуминиева сплав	
М. Серафимов, Е. Овчаров, ТУ - Варна, България.....	126
Намаляване на вибрациите на едноцилиндров двигател за едноосев трактор	
Ст. Станимиров, Кр. Бояджиев, П. Димитров, ТУ - София,	
Е. Михайлова, Пл. Ганецовски, Мотор ООД - Враца, България	132
Методика за диагностика на горивната система на корабни дизелови двигатели	
С. Станчев, А. Гутев, ТУ - Русе, България	137
Изследване на ефективните показатели на двигател ДП 5800 със система за охлаждане на нагнетявания въздух	
С. Станчев, П. Йорданов, ТУ - Русе, България.....	142
Изследване на възможностите за подобряване на горивната икономичност на бензинов двигател чрез обединяване на горивната смес	
Х. Станчев, В. Иванов, ТУ - Русе, България	148
Изследване върху развитието на горивната струя от едноотворов разпръсквач за дизелов двигател	
Т. Тодоров, Л. Митов, Кр. Бояджиев, ТУ - София, България	152
Усъвършенстване работния процес на четири тактовите карбураторни двигатели при работа на празен ход и частични натоварвания	
К. Хаджиев, ТУ - Русе, България	158
Конструкция на дюза за двустепенно впръскване за двигател Д 3900	
Т. Узунтонев, Д. Пилев, ТУ - Варна, България	161

СЕКЦИЯ "АВТОМОБИЛИ"

Factors which have Big Influence on Reduction of Shock' Absorber Resistance Forces	
Dacev T., Masinski Fakultet, Skopje, Macedonia	166
Изследване режимите на работа на дизелов двигател и хидрообемна трансмисия с автоматично управление на помпата	
Й. Димитров, Б. Гигов, Ст. Парлапанов, ТУ - София, България	170

Към определяне нормалните реакции на седлови автовлак, когато полуремаркето е с две и повече индивидуално окачени оси	
Ст. Димитров, ТУ - София.....	179
Измервателен комплекс за автоматизирана диагностика на пневматични спирачни системи	
Ст. Димитров, Б. Борисов, ТУ - София.....	183
Опитно определяне на регулаторните характеристики на мотокарна хидрообемна трансмисия	
П. Захариев, Б. Гигов, ТУ - София, А. Георгиев, ЦНИИЕМ - София.....	188
Многофакторно изследване износването на гумите на управляемите колела при движение в завой	
Р. ванов, ТУ - Русе, България	196
Simulation as a Method of Analysis of the Suspension System for Buses with Air Springs	
Kosevski M., Masinski Fakultet, Skopje, Macedonia.....	202
Анализ на разбивките на предавките в многостепенни мотоциклетни преводни кутии	
В. Маринов, Гр. Панчев, Технотест - София, България	209
Напречна устойчивост на съченен автобус със заден движещ мост при установено движение в завой	
Р. Русев, К. Дочев, Т. Тодоров, В. Райков, ТУ - Русе, България.....	215
Въртящ кръг за съченен автобус със заден движещ мост	
Р. Русев, К. Дочев, Т. Тодоров, В. Райков, ТУ - Русе, България.....	219
Моделиране на квазистатично натоварване на автомобилна трансмисия	
Р. Русев, Т. Тодоров, ТУ - Русе, М. Тодоров, ТИАТ - Шумен, Н. Янков, НИИАТ - София.....	225
Автоматизирано проектиране на полуоси на товарни автомобили	
Р. Русев, Т. Тодоров, ТУ - Русе, Д. Димитров, С. Тошков, ИАИТ - Русе, България	229
Application of the Substructure Method to Stress and Deformation Analysis for Vehicle Body Construction	
Jakimovski Sl., Masinaki Fakultet, Skopje, Macedonia	233

СЕКЦИЯ " АВТОМОБИЛИ "



УДК 629.113 - 535.2

ИЗСЛЕДВАНЕ РЕЖИМИТЕ НА РАБОТА НА ДИЗЕЛОВ ДВИГАТЕЛ И ХИДРО-
ОБЕМНА ТРАНСМИСИЯ С АВТОМАТИЧНО УПРАВЛЕНИЕ НА ПОМПАТА

Л.Димитров проф.кти, Б.Гигев гл.ас.инж., Ст.Парлапанов ст.н.с. кти
Технически Университет - София

Въз основа на експериментални данни са получени аналитични зависимости за специфичния разход на гориво на дизелов двигател, коефициента на полезно действие и текущия работен обем на аксиално-бутална помпа /регулируема/ за мотокарна хидрообемна трансмисия. Построени са съответните изолинии в координатна система въртящ момент – честота на въртене на една графика, показващи съвместната работа на двигателя и трансмисията.

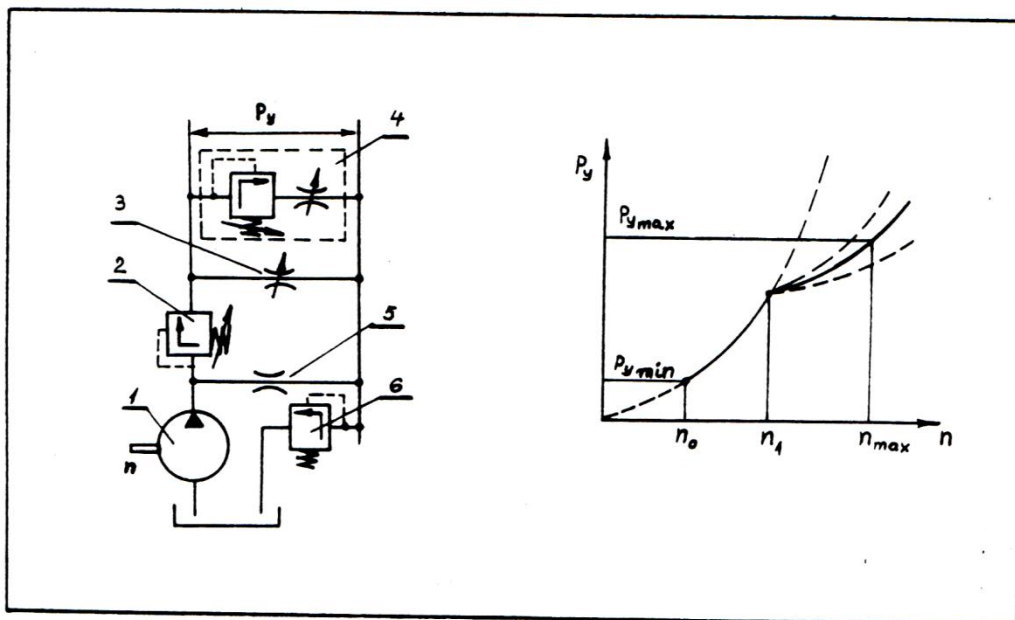
1. Увод

Съвременните мотокари универсални високоповдигачи използват по-чти изключително дизелов двигател с вътрешно горене /ДВГ/ и хидротрансмисия за задвижване на ходовите колела. За разлика от хидроинермичната трансмисия, хидрообемната трансмисия /ХОТ/ не е вътрешно автоматична и управлението ѝ се извършва или ръчно, /което не отговаря на съвременните изисквания/ или автоматично – с външна автоматика. Това може да се разглежда като предимство на ХОТ, тъй като е възможно лесно да си променя характеристиката на автоматичното управление на трансмисията, чрез което да се влияе и на режима на работа на ДВГ. Работният обем на помпата може да се управлява от най-различни механични, хидравлични или електрически параметри в зависимост от условията на работа на самоходната машина. Икономичността на ДВГ може да се оцени най-добре чрез построяване на изолиниите на специфичния разход на гориво в координатна система въртящ момент

/ М / - честота на въртене / n /, а режима на работа на ХОТ може да се оцени чрез построяване на изолиниите на постоянен КПД на помпата в същата координатна система.

2. Принцип на автоматично управление на мотокарна хидроомемна трансмисия

Най-често като управляващи параметри при мотокарните трансмисии се използват честотата на въртене на входа n , която съвпада с честотата на въртене на коляновия вал на ДВГ в случай, че не се използва съгласуваша зъбна предавка, и работното налягане на помпата p_y . На фиг.1 е представена принципна схема и характеристика, които изясняват начина на формиране на управляващото налягане p_y , големината на което зависи от честотата на въртене на помпата n .



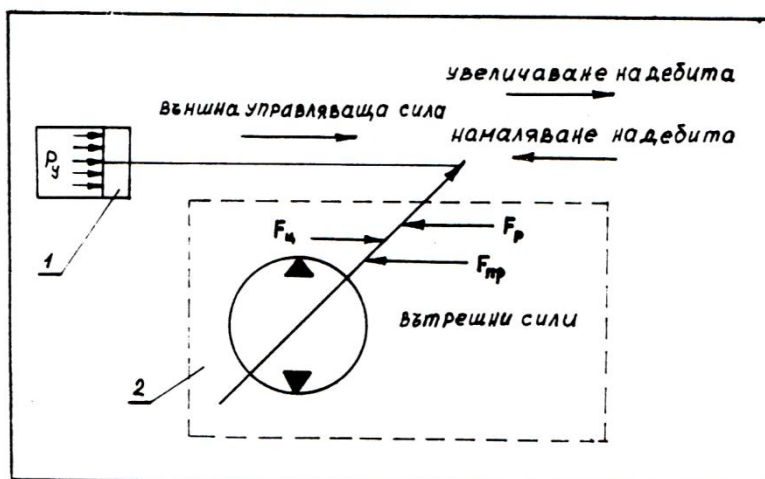
Фиг.1

1 - Захраниваща зъбна помпа, 2, 3 - Клапан и регулируем дросел за потегляне, 4 - Клапан и регулируем дросел за допълнително изменение на характеристиката, 5 - Основен дросел, 6 - Предпазен клапан на захранватата линия.

С увеличение на честотата на въртене на захранватата помпа 1, която

е куплирана към аксиално-буталната регулируема помпа и се задвижва от нейния вал, налягането ѝ нараства по квадратична зависимост $P_y = kn^2$. Това следва от уравнението на Бернули за връзката между налягането и дебита, пропиращ през основния дросел 5. За честоти на въртене по-малки от n_0 клапанът 2 е затворен и към регулируемата помпа не се подава управляващо налягане, което съответства на нулев работен обем и работа на ДВГ на празен ход. Моментът на потегляне на мотокара се определя от настройката на клапана 2 и дросела 3.

Характеристиката на управляващото налягане може да се променя с групата 4 с цел най-добро напасване към характеристиката на ДВГ. Така формираното управляващо налягане се подава към управляващия хидравличен цилиндър 1 /фиг.2/, който въздейства върху регулиращия орган на помпата 2 в посока на увеличаване на работния обем /дебита/.



Фиг.2

- 1 - Управляващ хидравличен цилиндър,
- 2 - Аксиално-бутална регулируема помпа

- пружинна сила и $F_{ц}$ - центробежна сила, които са вътрешни за помпата и осигуряват най-подходяща характеристика на автоматичното регулиране.

При някои помпи въздействието на работното налягане се осъществява чрез хидроцилиндър и външна сила, както при управляващото налягане, но в обратна посока.

Освен създадената по този начин външна управляваща сила в зависимост от конструкцията на помпата, върху управляващия и орган действват и силите: F_p - пропорционална на работното налягане, което се формира в системата в зависимост от съпротивленията, възникващи при движението на мотокара; $F_{пр}$ - пружинна сила и центробежна сила, които са вътрешни за помпата и осигуряват най-подходяща характеристика на автоматичното регулиране.

Регулаторните характеристики на ХОТ представляват зависимости на работния обем на помпата V от работното налягане p при параметър управляващото налягане p_y /респективно честота на въртене n /.

3. Многопараметрова характеристика на ДВГ

За построяване на изолиниите на специфичния разход на гориво ε_e на ДВГ са необходими експериментални данни за часовия разход на гориво G_h в зависимост от натоварването на двигателя /съпротивителния момент на коляновия вал M / при параметър честота на въртене n .

Данните за G_h се преизчисляват до специфичен разход по зависимостта:

$$\varepsilon_e = \frac{G_h}{M \cdot n} \cdot \frac{30 \cdot 10^6}{3,14}, \text{ g/kWh} \quad (1),$$

където: M е въртящ момент, Nm;

n – честота на въртене, min^{-1} ;

G_h – часов разход, kg/h.

Аналитичният вид на специфичния разход е получен чрез апроксимация във вида:

$$\varepsilon_e = A_0 + A_1 M + A_2 M^2 + \dots + A_m M^m \quad (2),$$

където $A_0, A_1, A_2 \dots A_m$ са коефициенти зависещи от честотата на въртене:

$$A_k = a_{0k} + a_{1k} n + a_{2k} n^2 + \dots + a_{pk} n^p \quad (3),$$

където $a_{0k}, a_{1k}, \dots, a_{pk}$ са коефициенти определени при апроксимацията.

Най-грубо приближение се получава при $m = 2$ и $p = 2$, при което се описва с достатъчна точност полето на оптималния режим на ДВГ. Увеличаването на степента на полиномите над 6 не води до увеличаване на точността.

4. Изолинии на КПД на помпата

За построяване на изолиниите на КПД на помпата, когато тя е регулируема е необходимо да се изясни връзката между работния обем, налягането, честотата на въртене, обемния и хидромеханичния КПД.

Регулаторните характеристики на помпата са получени експериментално въз основа на проведени пътни изследвания на мотокари от фамилията "Рекорд-3" I2I. Те потвърдиха линейния характер на зависимостта на работния обем от работното налягане при постоянна честота на въртене на ДВГ:

$$\kappa_V = C_1 + C_2 \cdot k_p \quad /4/,$$

където: $\kappa_V = \frac{V}{V_{\max}}$ е относителния обем на помпата,

$$k_p = \frac{p}{p_{\max}} - \text{относителното работно налягане},$$

C_1 и C_2 – коефициенти, зависещи от честотата на въртене.

Анализът на тези коефициенти показва, че те могат да бъдат аппроксимирани достатъчно добре с полином от втора степен по отношение на управляващото налягане p_y :

$$C_1 = C_{10} + C_{11} \cdot p_y + C_{12} \cdot p_y^2 \quad /5/,$$

$$C_2 = C_{20} + C_{21} \cdot p_y + C_{22} \cdot p_y^2 \quad /6/,$$

където C_{10} , C_{11} , C_{12} , C_{20} , C_{21} и C_{22} са коефициенти, определени при аппроксимацията.

Уравнението на управляващото налягане може да се представи във вида:

$$p_y = (k_1 + k_2) \cdot n^2 \quad /7/,$$

ако $n < n_1$, $k_2 = 0$, $k_1 \neq 0$,

ако $n \geq n_1$, $k_2 \neq 0$, $k_1 \neq 0$,

където k_1 и k_2 са коефициенти, определени при настройката на елементите 3 и 4 /Фиг.1/.

Обемният и хидромеханичният КПД са изследвани експериментално в лабораторни условия на стенд в катедра "Автомобили, трактори и карти" на ТУ – София. Те са функция на работния обем, работното налягане и честотата на въртене на хидромашината /при постоянна температура на работния флуид – маслото/. Характерът на тези функции е изследван от редица автори I1, 3I и е установено, че най-добро приближение се по-

лучава с дробно-линейна функция.

Когато хидромашината работи като помпа за общия ѝ КПД може да се напише:

$$\eta = \frac{1 - A}{1 + B} \quad /8/,$$

където: $A = N_y / N_i$, $B = N_{tr} / N_i$,

N_y е мощност, дължаща на загубите от утечки,

N_{tr} – мощност, дължаща се на различните видове трение,

N_i – индикаторна мощност на хидромашината.

Величините A и B характеризиращи обемните и хидромеханични загуби могат да се представят като функции на налягането, обема и честотата на въртене в безразмерен вид:

$$A = a_1 \frac{k_p}{k_v \cdot k_n} + a_2 \frac{k_p^2}{k_v \cdot k_n} + a_3 \frac{k_p}{k_v} + a_4 \frac{k_p^2}{k_v} + a_5 \cdot k_p + a_6 \cdot k_p^2 \quad (9)$$

$$B = \frac{b_1}{(b_2 + k_n)k_v} + \frac{b_3 \cdot k_v^2}{b_2 + k_n} + \frac{b_4 \cdot k_n}{(b_2 + k_n)k_v} + \frac{b_5 \cdot k_n \cdot k_v^2}{b_2 + k_n} + \\ + \frac{b_6}{(b_7 + k_n)k_p} + \frac{b_6}{(b_7 + k_n)k_p k_v} + \frac{b_8 \cdot k_n}{(b_7 + k_n)k_p} + \frac{b_9 \cdot k_n}{(b_7 + k_n)k_p k_v} + \\ + \frac{b_9 \cdot k_n^2}{k_p \cdot k_v} + \frac{b_9 \cdot k_n^2 \cdot k_v^2}{k_p} \quad (10)$$

където a_1, a_2, \dots, a_6 и b_1, \dots, b_9 са коефициенти, определени при апроксимацията,

$k_n = \frac{n}{n_{max}}$ е относителна честота на въртене.

При зададена честота на въртене и постоянен общ КПД след заместване в уравнениата $/4 + 7/$ се получава линейната зависимост между обема и налягането на помпата, която като се замести в уравнения $/8 + 10/$ води до биквадратно уравнение за работното налягане от вида:

$$\eta = F_0 + F_1 \cdot k_p + F_2 \cdot k_p^2 + F_3 \cdot k_p^3 + F_4 \cdot k_p^4 \quad (11),$$

където: F_0, F_1, \dots, F_4 са коефициенти, зависещи от честотата на въртене, работния обем и характеристиката на автоматиката.

Това уравнение има два реални корена, които съответстват на две стойности на въртящия момент на помпата, изчисляеми съгласно за висимостта:

$$M_{1,2} = k_{p_{1,2}} \cdot k_{V_{1,2}} (1 + B_{1,2}) \cdot M_{\max} \quad /12/,$$

където: $k_{p_{1,2}}$ са корените на уравнение 11,

$k_{V_{1,2}}$ – относителните обеми, съответстващи на тези корени,

изчислени по уравнение 4,

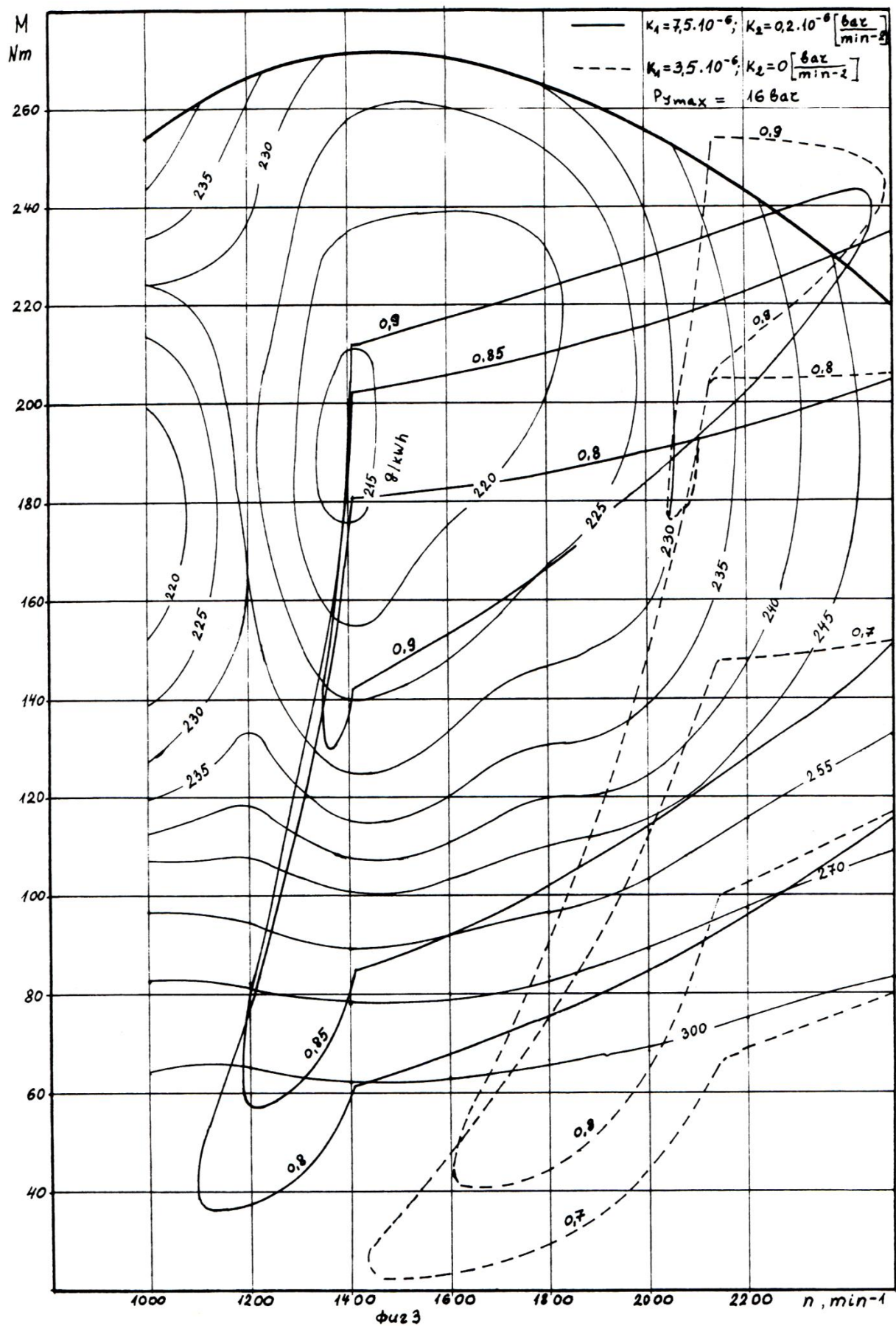
$B_{1,2}$ – стойностите на величината B, изчислени по уравнение 10 и удовлетворяващи корените

$$M_{\max} = \frac{p_{\max} \cdot V_{\max}}{20.3,14} \quad - \text{максимален въртящ момент на помпата.}$$

Получените по този начин характеристики са показани на фиг.3. На една графика в координати въртящ момент M – честота на въртене n са начертани изолиниите на специфичния разход на гориво на ДВГ и изолините на постоянен КПД на помпата. Изолиниите на постоянно КПД на помпата са показани в два варианта: с прекъсната линия е даден вариант, при който $k_2 = 0$ за целия диапазон на регулиране, а с пътна линия – вариант, при който $n_1 = 1400 \text{ min}^{-1}$. Във втория вариант има съпадение на оптималните режими на ДВГ и помпата.

5. Изводи:

Подобряването на икономичността на ДВГ при работа съвместно с хидрообемна трансмисия с автоматично управление на помпата може да се постигне чрез подходящ избор на типоразмер на регулируемата помпа и параметри на автоматичното регулиране.



ЛИТЕРАТУРА:

1. Городецкий К.И., Михайлин А.А., КПД объемных гидропередач. Тракторы и сельхозмашини, 1979, 9, стр.10-11.
2. Захариев П. и др. Опитно определяне на регуляторните характеристики на мотокарна хидрообемна трансмисия. Международна научна конференция по двигатели и автомобили "МОТАUTO", София-Семково, XI, 93
3. Бабаев О.М. и др. Объемные гидромеханические передачи, под общ. ред. Е.С. Кисточкина, Ленинград, Машиностроение, 1987, стр.256.
4. Ortwig H., Automotiver Fahrantrieb für selbstfahrende Arbeitsmaschinen. Antriebstechnik 31 (1992), n. 3, s.89 + 93.